

УДК 530.18

ЧИСЛЕННОЕ МОДЕЛИРОВАНИЕ РАССЕИВАЮЩИХ БИЛЛИАРДОВ. ЧАСТЬ II

С. В. Поршнеv¹

В статье описаны вычислительные алгоритмы для оценки количественных характеристик процесса хаотизации движения материальной точки в рассеивающих бильярдах и их программная реализация, созданная с использованием пакета Mathcad 2000 Professional.

1. Введение. В [1] даны описания алгоритмов для вычисления траектории движения материальной точки в рассеивающих бильярдах с произвольной формой границы и их программной реализации с использованием пакета Mathcad 2000 Professional. Работоспособность этих программ была продемонстрирована на примере вычисления траектории движения материальной точки в простейшем бильярде Синая [2, 3]. В данной статье приведено описание вычислительных алгоритмов и их программной реализации для количественного анализа хаоса, возникающего в рассматриваемых системах.

Напомним, что рассеивающие бильярды относятся к классу \mathcal{K} -систем, в которых может возникать динамический хаос [1, 4]. При этом возникновение хаоса не связано с действием случайных сил, но целиком определяется внутренними свойствами динамической системы.

Движение динамической системы в фазовом пространстве (\mathbf{z}) обычно описывают с помощью отображения \hat{T} :

$$z_{n+1} = \hat{T}z_n,$$

якобиева матрица \hat{M} которого определяется как

$$M_{ij;n} = \frac{\partial z_{i,n+1}}{\partial z_{j,n}} \quad (i, j = 1, \dots, P),$$

где P — размерность фазового пространства. Отображение \hat{T} является невырожденным, если $|\hat{M}| \neq 0$. Условие $|\hat{M}| = 1$ означает, что фазовый объем сохраняется для любого момента времени n .

Анализ собственных значений λ_k , найденных из характеристического уравнения

$$|\hat{M} - \lambda \hat{I}| = 0,$$

где \hat{I} — единичная матрица порядка P , позволяет определить показатель расширения. Расположим собственные числа в порядке возрастания их абсолютных значений:

$$|\lambda_1| \leq |\lambda_2| \leq \dots \leq |\lambda_k| \leq \dots \leq |\lambda_P|.$$

Пусть в направлении i -го собственного вектора происходит расширение на m -м шагу с характеристическим числом $|\lambda_{i,m}| > 1$. Будем считать, что при этом $|\lambda_{i,m}|$ не зависит от m . Тогда на n -ом шаге отображения длина вектора состояния в направлении i будет расти как

$$d_i(n) = |\lambda_i|^n d_i(0) = d_i(0)e^{\sigma_i n}, \quad \sigma_i \equiv \ln |\lambda_i|.$$

Здесь σ_i — показатель Ляпунова. Если показатели Ляпунова по различным направлениям сохраняются во времени, то локальная неустойчивость характеризуется достаточно простым выражением [5]

$$h_0 = \sum_{j>i}^P \sigma_j = \sum_{j>i}^P \ln(\lambda_j),$$

которое определяет показатель экспоненциального роста элемента фазового объема.

¹ Нижнетагильский государственный педагогический институт, ул. Красногвардейская, 57, 622031, г. Нижний Тагил; e-mail: psv@mail.tagil.ru

В общем случае показатели Ляпунова σ_i являются функцией точки z_n ; кроме того, направления растяжения или сжатия векторов меняются в зависимости от n . Преодоление отмеченных трудностей потребовало значительных усилий [2, 3] и использования математических методов, далеко выходящих за рамки курсов математики большинства вузов.

Исходя из того, что рассматриваемая задача занимает особое место в общей теории динамических систем, а изучение ее основ предусмотрено образовательными стандартами, представляется необходимым разработать компьютерную программу для моделирования движения материальной точки в рассеивающем бильярде. При этом программа должна не только демонстрировать особенности движения материальной точки на качественном уровне, но и давать возможность получать количественные оценки параметров динамического хаоса. С нашей точки зрения, для учебных целей вполне оправдано вместо подхода к решению рассматриваемой задачи, предложенного в [2, 3], использовать менее математически строгий, но более физически очевидный подход, основанный на вычислении траекторий движения частиц и выполнении с их использованием последующего количественного анализа особенностей поведения динамической системы.

2. Количественные характеристики динамического хаоса в бильярде Синая. Следуя выбранному подходу к решению задачи, будем рассматривать траектории движения в бильярде Синая двух материальных точек, которые в момент времени $t = 0$ находятся в точках с радиус-векторами \mathbf{r}_1 и $\mathbf{r}_2 = \mathbf{r}_1 + \Delta\mathbf{r}$, где $|\Delta\mathbf{r}| \ll |\mathbf{r}_1|$, и имеют одинаковые скорости. Алгоритмы, используемые для вычисления траектории движения материальной точки в бильярде Синая, и их программные реализации, разработанные в пакете Mathcad 2000 Professional, описаны в [1]. Траектории движения материальных точек с близкими начальными условиями представлены в электронной версии статьи [1] на рис. 12, который иллюстрирует разбегание траекторий.

Для получения количественных характеристик динамического хаоса будем использовать в рассматриваемой задаче не аппарат дискретных отображений, но значения радиус-вектора частицы, вычисленные на дискретной равномерной временной сетке. Для вычисления значений радиус-вектора частицы в равноотстоящие моменты времени можно использовать следующий алгоритм:

1) Вычислить моменты времени t_i , соответствующие нахождению материальной точки в начальной и конечной точках i -го отрезка траектории, используя значения координат концов отрезков траектории (x_i, y_i) , (x_{i+1}, y_{i+1}) ($i = 0, 1, \dots, K-1$, где K — количество компонент вектора, содержащего координаты вершин и компоненты вектора скорости на i -м отрезке траектории) и абсолютное значение скорости $|v|$:

$$t_{i+1} = \frac{\sqrt{(x_{i+1} - x_i)^2 + (y_{i+1} - y_i)^2}}{|v|}, \quad t_0 = 0.$$

2) Инициализировать счетчик номеров отрезков ломаной $k = 1$.

3) Инициализировать переменную $\Delta T = 0$.

4) Задать число узлов временной сетки Nt .

5) Занести координаты начальной точки траектории в вектор \mathbf{R}_0 : $\mathbf{R}_0 = (x_0, y_0)$.

6) Вычислить значения узлов временной сетки T_j ($j = 0, 1, \dots, Nt$):

$$T_j = \frac{t_{K-1}}{Nt} j.$$

7) Вычислять последовательно для каждого j значения координат радиус-вектора $\mathbf{R}_j = (X_j, Y_j)$ для каждого момента времени T_j до тех пор, пока выполнено условие $T_j \leq t_k$, по формулам:

$$X_{j+1} = x_0 + v_{x_{k-1}}(T_{j+1} - T_j), \quad Y_{j+1} = y_0 + v_{y_{k-1}}(T_{j+1} - T_j).$$

8) При нарушении условия $T_j \leq t_k$:

— увеличить счетчик номера отрезка на единицу: $k = k + 1$,

— вычислить новое значение переменной ΔT : $\Delta T = T_j - t_k$,

— вычислить новое значение координат вектора \mathbf{R}_0 по формулам $x_0 = x_{k-1} + v_{x_{k-1}}\Delta T$, $y_0 = y_{k-1} + v_{y_{k-1}}\Delta T$.

9) Повторять последовательность рассмотренных действий до тех пор, пока $j \leq Nt$.

Программная реализация описанного алгоритма представлена на рис. 1 и 2. Функция на рис. 2 имеет следующие аргументы: \mathbf{L} — объединенная матрица (матрица, состоящая из столбцов матрицы, возвращенной функцией L4 [1], и вектора, возвращенного функцией Times); Tf — конечное значение временного интервала, используемого для вычисления координат радиус-вектора на равномерной временной сетке; Nt — число узлов временной сетки.

```

Times(L)
|
|   L0,2
v0
|   L0,3
|
t0  0
|
s0,0  0
|
for i 0 rows(L) - 2
|
|   Li-1,0  Li,0
r
|   Li-1,1  Li,1
|
ti-1  ti   $\frac{|r|}{|v0|}$ 
|
si-1,0  ti-1
|
s
    
```

Рис. 1. Функция, возвращающая значения моментов времени, соответствующих положению точки в конечных точках отрезков траектории. Аргумент функции — матрица, возвращаемая функцией L4 [1]

```

Lt(L, Tf, Nt) :=
|
|   Δt ←  $\frac{Tf}{Nt}$ 
s0,0 ← 0
|
s0,1 ← L0,0
|
s0,2 ← L0,1
|
R0 ←  $\begin{pmatrix} s_{0,1} \\ s_{0,2} \end{pmatrix}$ 
|
k ← 1
|
ΔT ← 0
|
for i ∈ 1.. Nt
|
|   si,0 ← Δt · i
|   if si,0 ≤ Lk,5
|
|   |   si,1 ← R00,0 + Lk-1,2 · (si,0 - si-1,0 - ΔT)
|   |   si,2 ← R01,0 + Lk-1,3 · (si,0 - si-1,0 - ΔT)
|   otherwise
|   |   k ← k + 1
|   |   ΔT ← si,0 - Lk-1,5
|   |   R0 ←  $\begin{pmatrix} L_{k-1,0} + L_{k-1,2} \cdot \Delta T \\ L_{k-1,1} + L_{k-1,3} \cdot \Delta T \end{pmatrix}$ 
|   |   si,1 ← R00,0
|   |   si,2 ← R01,0
|
|
s
    
```

Рис. 2. Функция, возвращающая значения координат радиус-вектора текущего положения материальной точки в равноотстоящие моменты времени

В качестве количественной характеристики величины разбегания траекторий можно использовать зависимость расстояния между траекториями, близкими в момент времени $t = 0$ от времени $D(t)$. Фрагмент документа, предназначенного для вычисления координат концов отрезков траекторий, близких в момент времени $t = 0$, значений радиус-векторов в равноотстоящие моменты времени, зависимости $D(t)$

и ее графического представления, приведен на рис. 3. На этом рисунке: K — число отражений от рассеивающей границы; $R0$ — радиус-вектор начальной точки траектории первой материальной точки; Δ — вектор сдвига начальной точки второй материальной точки; $R1$ — радиус-вектор начальной точки траектории второй материальной точки; $L5, L6$ — матрицы, содержащие значения вершин отрезков траектории первой и второй материальных точек, соответственно; $T5, T6$ — векторы, содержащие значения моментов времени, в которые материальные точки находятся в начальной и конечной точках i -го отрезка траектории; Nt — число узлов равномерной временной сетки; $L55, L66$ — объединенные матрицы, содержащие значения координат вершин отрезков траектории и значения соответствующих моментов времени; Tf — значение временного интервала, на котором производится вычисление координат материальных точек на равномерной временной сетке; $Lt55, Lt66$ — матрицы, содержащие координаты точек траектории в равноотстоящие моменты времени; Dt — вектор, содержащий значения расстояния между материальными точками, близкими в момент времени $t = 0$.

```

K := 133
R0 := (-3.3)   v := ( 1.5)   L5 := L4(R0, v, Bound, Bound2, K)
      3.63      -1.8
Delta := (0.01)  R01 := R0 + Delta  L6 := L4(R01, v, Bound, Bound2, K)
         0.0
T5 := Times(L5)  T6 := Times(L6)
L55 := augment(L5, T5)  L66 := augment(L6, T6)
Nt := 2000
Tf := (L55(s))rows(L55)-1 if (L55(s))rows(L55)-1 ≤ (L66(s))rows(L66)-1
      (L66(s))rows(L66)-1 otherwise
Lt55 := Lt(L55, Tf, Nt)  Lt66 := Lt(L66, Tf, Nt)
Dt := for i ∈ 0.. Nt
      si ← √[(Lt55(1))i - (Lt66(1))i]2 + [(Lt55(2))i - (Lt66(2))i]2
      s
      i := 0.. Nt

```

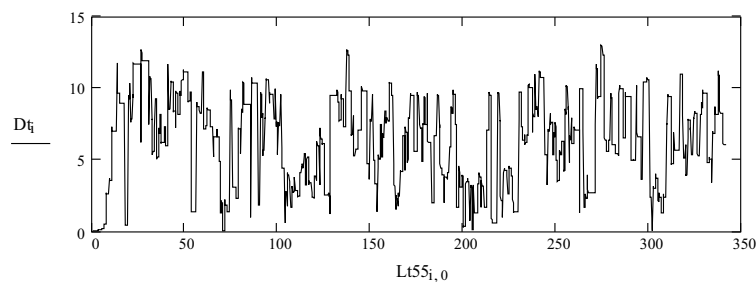


Рис. 3. Фрагмент документа для вычисления зависимости $D(t)$

Анализ зависимости $D(t)$, представленной на рис. 3, показывает, что при заданных начальных условиях после экспоненциально быстрого разбегания траекторий, близких в момент времени $t = 0$, с момента времени $t = 14,0$ движение материальных точек в бильярде Синая становится хаотическим. Данный результат позволяет достаточно просто получить оценку h -энтропии для данных начальных условий:

$$h_0 \approx \frac{\ln(D(14,0)) - \ln(D(0))}{14,0} \approx 0,8.$$

Более точную оценку h -энтропии для данных начальных условий можно получить, используя метод наименьших квадратов. Оценка “глобального” значения h_0 для бильярда Синая с заданными размерами может быть получена усреднением значений h_0 , найденных при различных начальных условиях.

Один из известных критериев проверки поведения динамической системы на хаотичность состоит в анализе спектров временных рядов, характеризующих систему (например, зависимости координаты

от времени, скорости от времени и т.д.) [8]. В хаотическом режиме спектры временных рядов являются широкополосными, т.е. в них присутствует большое число гармоник с различными частотами. Наличие значений функции $D(t)$ в равноотстоящие моменты времени позволяет вычислить спектр данного временного ряда, используя для этого стандартную функцию пакета Mathcad CFFT(V), где V — n -мерный вектор (рис. 4). Анализ спектра зависимости $D(t)$, представленной на рис. 4, показывает, что в полном соответствии с одним из известных критериев стохастичности динамической системы [7] спектр является широкополосным.

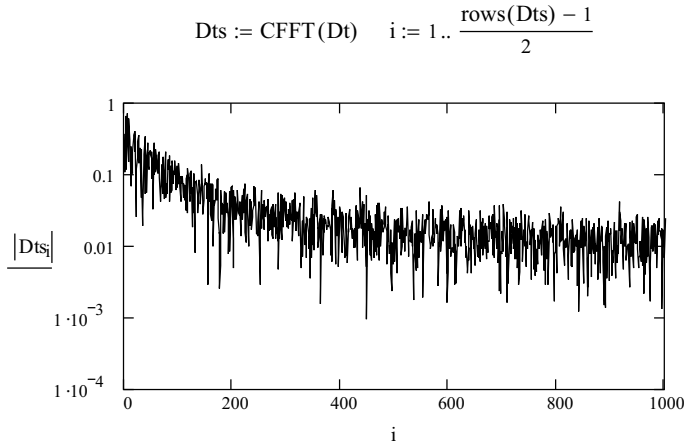


Рис. 4. Спектр зависимости $D(t)$ в полулогарифмическом масштабе

В связи с тем, что фазовое пространство рассматриваемой динамической системы является четырехмерным, его непосредственное изображение на двумерной плоскости (экране монитора) невозможно. В этих условиях для демонстрации перемешивания в фазовом пространстве можно использовать его проекции на трехмерные пространства (зависимости $v_x = f(x(t), y(t))$, $v_y = f(x(t), y(t))$ и т.д.) и двумерные плоскости (зависимости $v_x = f(x(t))$, $v_y = f(y(t))$ и т.д.). При этом для построения данных проекций удобно использовать отображение Пуанкаре, т.е. совокупность значений указанных функций, вычисленную в последовательные моменты времени $t_i = t_0, t_1, \dots, t_n$. Алгоритм вычисления отображения Пуанкаре аналогичен описанному выше алгоритму вычисления координат материальной точки в равноотстоящие моменты времени. Функция, возвращающую отображение Пуанкаре, приведена рис. 5, на котором L — матрица, возвращенная функцией L4; Times — вектор, возвращенный функцией Time; N — количество точек отображения Пуанкаре.

На рис. 6 представлен фрагмент документа для вычисления отображения Пуанкаре в 1000 точках и построения зависимости $v_x = f(x(t), y(t))$. На этом рисунке приведено также отображение Пуанкаре для квадратного бильярда, у которого отсутствует рассеивающая граница, т.е. бильярда, не являющегося \mathcal{K} -системой. Представленные на рис. 6 отображения Пуанкаре наглядно демонстрируют существование перемешивания в бильярде Синая и его отсутствие в квадратном бильярде.

3. Задачи.

1) Постройте зависимость расстояния между траекториями, близкими в момент времени $t = 0$ от номера отображения.

2) Постройте проекции отображения Пуанкаре (зависимости $v_x = f(x)$, $v_y = f(y)$ и $v_x = f(x, y)$, $v_y = f(x, y)$) при различном числе точек отображения. Сравните полученные зависимости и объясните имеющиеся отличия.

3) Помимо расстояния между траекториями, близкими в момент времени $t = 0$, в качестве количественной характеристики степени разбегания траекторий можно использовать угол Θ между этими траекториями, который, как очевидно, равен углу между векторами скоростей материальных точек. Для этого случая:

— дополните описанный в статье документ фрагментом, позволяющим вычислять зависимость угла Θ от времени ($\Theta = \Theta(t)$) и отображать ее на графике,

— сравните зависимости $D(t)$ и $\Theta(t)$ и объясните полученный результат,

— используя зависимость $\Theta(t)$, оцените величину h_0 и сравните ее с аналогичной величиной, полученной с использованием зависимости $D(t)$,

```

P(L,Times,N) :=
  N1 ← rows(Times) - 1
  T1 ← TimesN1,0
  ΔT ←  $\frac{T1}{N}$ 
  j ← 0
  for i ∈ 0.. N - 1
    t ← ΔT · (i + 1)
    while t > Timesj,0
      j ← j + 1
    Δτi ← t - Timesj-1,0
    Vi,0 ← Lj-1,0 + Lj-1,2 · Δτi
    Vi,1 ← Lj-1,1 + Lj-1,3 · Δτi
    Vi,2 ← Lj-1,2
    Vi,3 ← Lj-1,3
  V

```

Рис. 5. Функция, возвращающая значения отображения Пуанкаре

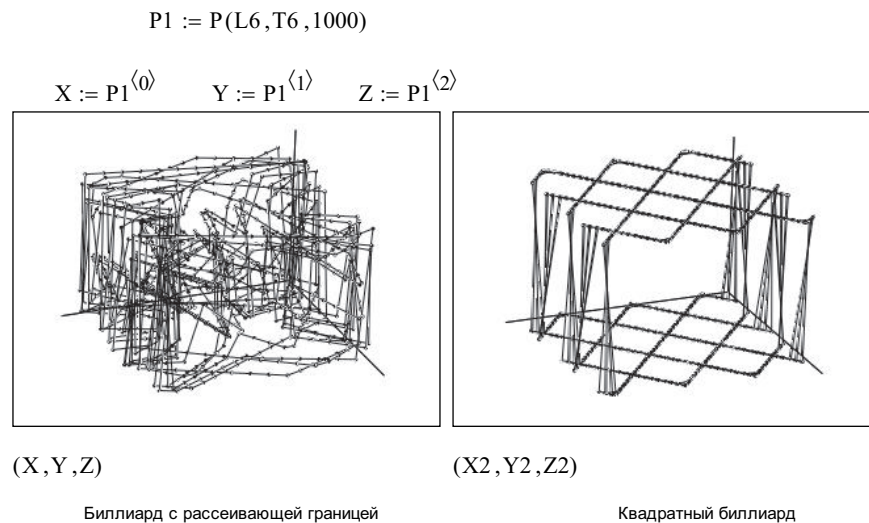


Рис. 6. Фрагмент документа для вычисления и построения сечения отображения Пуанкаре плоскостью

- вычислите спектр зависимости $\Theta = \Theta(t)$ и отобразите его на графике,
- сравните спектры зависимостей $D(t)$ и $\Theta(t)$.

4) Дополните описанный в статье документ фрагментом, позволяющим вычислять траекторию движения материальной точки и отображение Пуанкаре для биллиарда Синая с отсутствующей рассеивающей границей. Постройте зависимости $v_x = f(x)$, $v_y = f(y)$ и $v_x = f(x, y)$, $v_y = f(x, y)$. Сравните полученные результаты с отображением Пуанкаре, представленным на рис. 6.

5) Дополните описанный в статье документ фрагментом, позволяющим вычислять траектории движения нескольких точек одновременно. Рассмотрите эволюцию во времени квадрата, образованного 8 материальными точками, имеющими в момент времени $t = 0$ одинаковые скорости.

6) Исследуйте зависимость h_0 , значения которой оцениваются по зависимостям $D(t)$ и $\Theta(t)$, от координат начальной точки.

7) Дополните описанный в статье документ фрагментом, позволяющим вычислять значения h_0 для различных начальных точек и вычислять их среднее значение $\langle h_0 \rangle$. Исследуйте зависимость $\langle h_0 \rangle$ от отношения между размерами биллиарда, радиусом рассеивающей окружности и положением ее центра.

4. Заключение. В статье описаны вычислительные алгоритмы для оценки количественных харак-

теристик динамического хаоса, возникающего в рассеивающих билиардах, и их программные реализации, разработанные в пакете Mathcad 2000 Professional. Показано, что возникновение хаоса можно наглядно продемонстрировать при рассмотрении зависимости расстояния между траекториями, близкими в момент времени $t = 0$, от времени $D(t)$, а также ее спектра. По зависимости $D(t)$ можно оценить время экспоненциального разбегания траекторий, после чего возникает хаотический режим, и величину h -энтропии. Предложен перечень задач для самостоятельного решения.

СПИСОК ЛИТЕРАТУРЫ

1. *Поршнев С.В.* Численное моделирование рассеивающих билиардов. Часть I // Вычислительные методы и программирование. 2001. **2**, № 2. 49–55 (электронная версия статьи приведена в <http://num-meth.srcc.msu.su>).
2. *Синай Я.Г.* К обоснованию эргодической гипотезы для одной динамической системы статистической механики // ДАН СССР. 1963. **153**. 1261–1264.
3. *Синай Я.Г.* Динамические системы с упругими отражениями. Эргодические свойства рассеивающих билиардов // УМН, 1970, **25**. 141–192.
4. *Заславский Г.М.* Стохастичность динамических систем. М.: Наука, 1984.
5. *Заславский Г.М., Сагдеев Р.З.* Введение в нелинейную физику. От маятника до турбулентности и хаоса. М.: Наука, 1988.
6. *Синай Я.Г.* О понятии энтропии динамической системы // ДАН СССР. 1959. **124**. 768–770.
7. *Синай Я.Г.* О потоках с конечной энтропией // ДАН СССР. 1959. **125**. 1200–1202.
8. *Мун Ф.* Хаотические колебания. М.: Мир, 1990.

Поступила в редакцию
27.06.2001
